

Г-547

18/IX-68

ОБЪЕДИНЕННЫЙ
ИНСТИТУТ
ЯДЕРНЫХ
ИССЛЕДОВАНИЙ

Дубна



P15 - 3998

А.М.Говоров, В.И.Салацкий, С.А.Тележников

Лаборатория нейтронной физики

МНОГОКРАТНОЕ
РАССЕЯНИЕ ИОНОВ ВОДОРОДА С ЭНЕРГИЕЙ
 $94 \div 294$ КЭВ В СЛЮДЕ

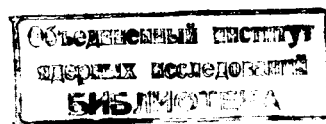
1968

P15 - 3998

2462/2 49

А.М.Говоров, В.И.Салацкий, С.А.Тележников

МНОГОКРАТНОЕ
РАССЕЯНИЕ ИОНОВ ВОДОРОДА С ЭНЕРГИЕЙ
94 : 294 КЭВ В СЛЮДЕ



Введение

Применение тонких пленок из слюды в качестве входных и выходных окон мишеней при проведении некоторых ядерных исследований связано с необходимостью учета влияния многократного рассеяния в слюде. Однако экспериментальные и теоретические сведения, приведенные в литературе как к моменту постановки данной работы, так и в настоящее время, не позволяют осуществить этот учёт с желательной точностью.

Подробный обзор существующих теорий многократного рассеяния заряженных частиц сделан В.Скоттом^{/1/}. Среди них следует выделить теорию Мольера^{/2,3/}, которая обладает аналитической завершенностью при практически всегда оправдываемом допущении, что углы рассеяния малы. В сочетании со статистической моделью Томаса-Ферми для описания распределения электронов в атоме теория Мольера дает хорошее согласие с экспериментом при рассеянии заряженных частиц на тяжелых атомах. При переходе же к легким атомам (а слюда представляет собой соединение легких атомов) статистическая модель становится неудовлетворительной. В этом случае целесообразно применять более точные значения рассеивающего потенциала, рассчитанного, например, по методу Хартри-Фока, аналогично тому, как это было сделано для углерода в работе^{/4/}. Для большинства элементов, входящих в состав слюды, значения потенциалов авторам настоящей работы не были известны к моменту постановки данной работы, и поэтому рассчитать многократное рассеяние в слюде по модели Хартри-Фока не представлялось возможным.

В этой связи были проведены измерения многократного рассеяния протонов и ионов трития в слюде и сделано сравнение с расчётами по теории Мольера и модели Томаса-Ферми.

Техника эксперимента

Пучок протонов (или ионов трития), ускоренных каскадным генератором Лаборатории нейтронной физики ОИЯИ^{/5/} до энергий 94,924 кэв, после магнитного анализа и коллимации падал по нормали на слюдяные пленки (мусковит), толщина которых составляла 0,175; 0,125 и 0,086 мг/см² и определялась по потерям энергий и тормозным способностям, взятым из работы^{/8/}. Энергия бомбардирующих ионов находилась по сумме напряжений, приложенных к ускорительной трубке и к ионному источнику.

Регистрация рассеянных частиц осуществлялась при помощи цилиндра Фарадея, соединенного с электрометрической схемой. Телесный угол, вырезаемый диафрагмой цилиндра Фарадея, составлял $1,6 \cdot 10^{-4}$ стерадиан. Постоянство падающего на мишень пучка контролировалось измерением тока частиц, попадающих в цилиндр Фарадея под нулем градусов после каждого измерения при заданном угле. Ток на мишени сохранялся в пределах $\pm 2\%$.

Угловые распределения получались в результате деления значений токов под различными углами на полусумму токов при 0° , зарегистрированных до и после каждого измерения под заданным углом. Для уточнения положения нулевого угла измерения производились в обе стороны от него.

Обсуждение результатов

Результаты обработки экспериментальных данных представлены на рисунках 1 и 2. На рис.2 для трех энергий протонов пунктирными кривыми показаны также угловые распределения, вычисленные по теории Мольера. Согласно этой теории угловое распределение многократно рассеянных заряженных частиц представлялось в виде ряда, ограниченного тремя членами:

$$f(\theta) \theta d\theta = \frac{1}{2\pi} \theta d\theta [2e^{-\theta^2} + \frac{1}{B} f^{(1)}(\theta) + \frac{1}{B^2} f^{(2)}(\theta) + \dots], \quad (1)$$

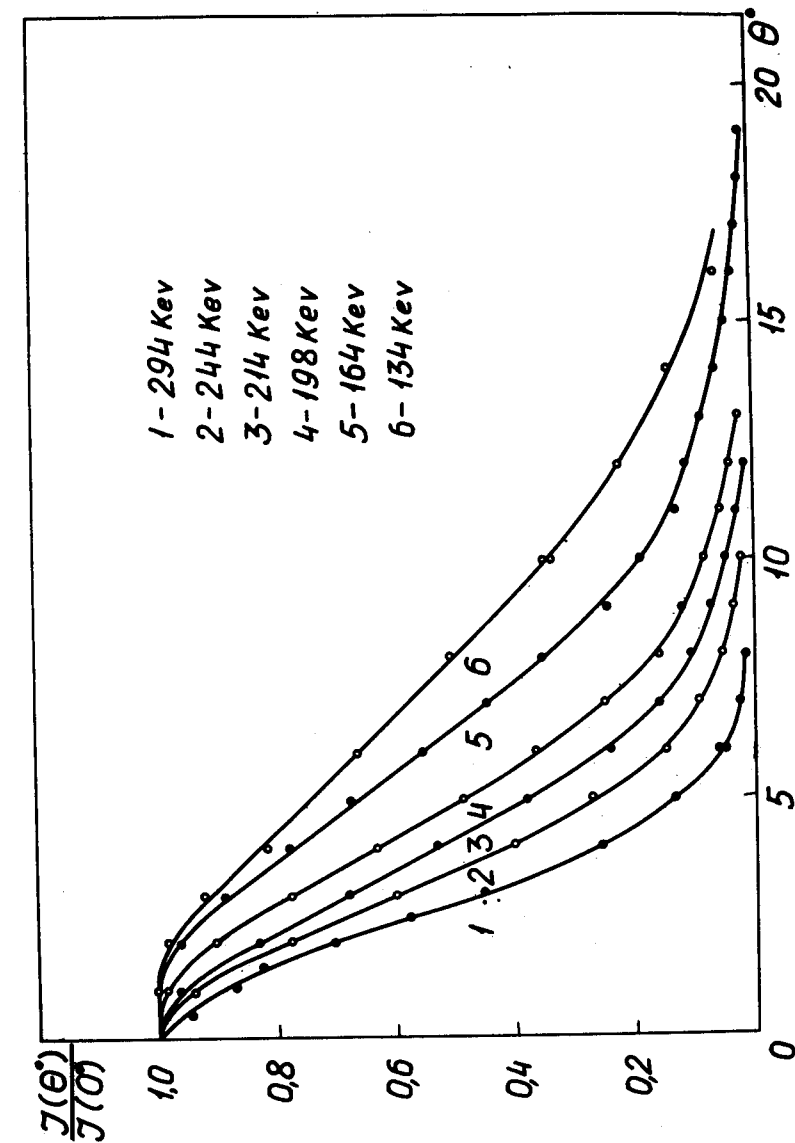


Рис. 1. Экспериментальные угловые распределения многократно рассеянных протонов на слюде толщиной 0,175 мг/см². По оси абсцисс отложены углы в градусах, по оси ординат — отношение выхода под данным углом к выходу под 0° . Указаны энергии падающих протонов.

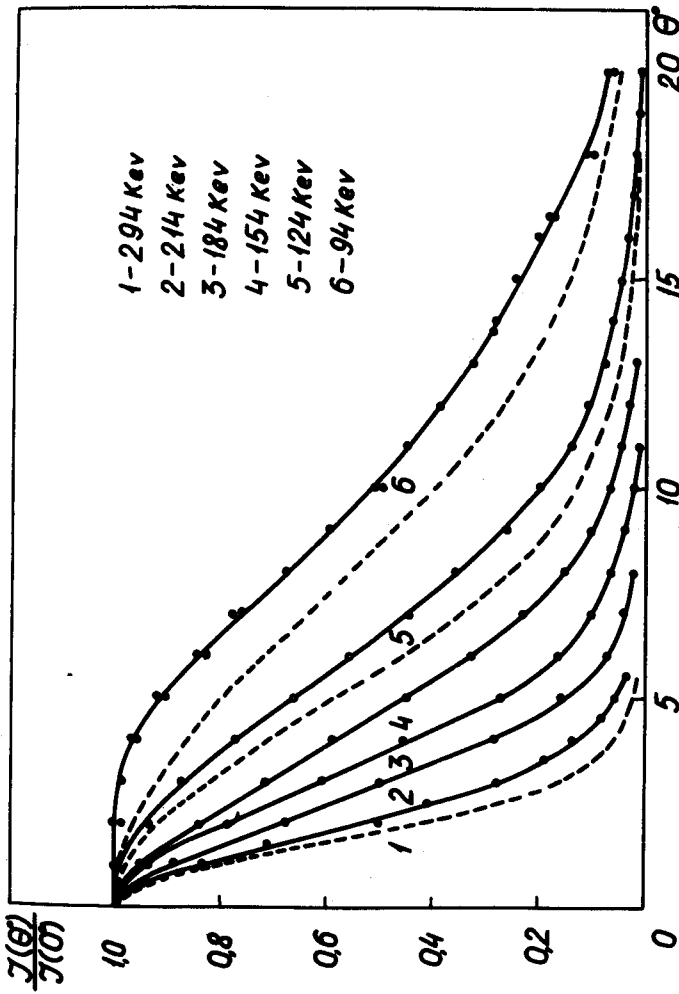


Рис. 2. Угловые распределения многократно рассеянных протонов на слюдце толщиной 0,125 мг/см². По оси абсцисс отложены углы в градусах, по оси ординат — относительный выход протонов. Сплошные кривые проведены через экспериментальные точки. Для трех энергий пунктиром показаны теоретически вычисленные распределения. Указаны энергии падающих протонов.

где $\theta = \frac{\Theta}{X_0 \sqrt{B}}$,
функции $f^{(1)}(\theta)$ и $f^{(2)}(\theta)$ табулированы в работе Бете^[3], а параметр B определялся из уравнения:

$$B - \ln B = \ln \frac{X_0^2}{X_a^2} + 1 - 2C, \quad (2)$$

в котором C — постоянная Эйлера (0,5772).

Угол X_0 , обычно определяемый из условия, что суммарная вероятность однократного резерфордовского рассеяния на углы $\theta > X_0$ равна единице, можно представить:

$$X_0^2 = \pi N t Z_1^2 Z_2^2 e^4 E^{-2}, \quad (3)$$

где N — число рассеивающих центров в единице объема мишени, t — толщина мишени, E — энергия падающих частиц, $Z_1 e$ и $Z_2 e$ — заряды ядра рассеивающего атома и падающей частицы.

Угол экранирования X_a для случая рассеивающего потенциала Томаса-Ферми записывается:

$$X_a^2 = X_0^2 (1.13 + 3.76 \alpha^2), \quad (4)$$

где $X_0 = \frac{x}{a}$, $\alpha = \frac{Z_1 Z_2 e^2}{\pi v}$, v и x — скорость и длина волны падающей частицы, a — фермиевский радиус атома ($a = 0.885 a_0 Z^{-1/3}$, если a_0 — радиус боровской орбиты).

Для слюды, имеющей сложный состав ($\text{K}_2\text{Al}_5\text{Si}_8\text{O}_{12}$), вместо X_a^2 необходимо определить просуммированное по составу мишени значение

$$X_{ek}^2 = \sum_i (X_{ei}^2) t_i = 217.8 \frac{t}{E^2}, \quad (5)$$

если t выразить в мг/см², а E — в кэв.

Вместо \bar{x}^2 в этом случае нужно найти средневзвешенное значение $\bar{x}_{\text{ок}}^2$:

$$\ln \bar{x}^2 = \frac{\sum_i (x_{\text{ок}}^2 \ln x_{\text{ок}}^2)_i}{\bar{x}_{\text{ок}}^2}. \quad (6)$$

Для упрощения вычисления \bar{x}^2 был неправомерно применен потенциал водорода, рассчитанный по модели Томаса-Ферми, поскольку это не вносит в окончательный результат заметной ошибки из-за малости вклада.

Наличие значительных энергетических потерь рассеиваемых частиц в слюде требовало учёта изменения энергии при расчёте $x_{\text{ок}}^2$ и \bar{x}^2 . Формула (5) в этой связи преобразовывалась к виду

$$x_{\text{ок}}^2 = 217.8 \int_{E_0}^{E_k} \frac{dE}{E \left(\frac{dE}{dx} \right)}, \quad (7)$$

где E_0 и E_k – начальная и конечная энергии ионов водорода в кэв; $\frac{dE}{dx}$ – удельная тормозная способность слюды в $\frac{\text{кэв}}{\text{мг/см}^2}$.

Вычисленные при этих условиях параметры $x_{\text{ок}}^2$, B , $(\Theta_u)_t$ для протонов и тритонов, рассеянных в слюдяных пленках разной толщины, приведены в таблице. В последней колонке таблицы и на рис. 3 показано отношение экспериментальных значений полуширии $(\Theta_u)_e$ к их теоретически вычисленным значениям $(\Theta_u)_t$.

Погрешности в определении отношений полуширии угловых распределений изменялись в пределах 3–7% и обусловливались ошибками определения энергии (1,4±3,8%), ошибками определения толщин слюдяных пленок (3,5±7%), геометрическими ошибками (~3%) и ошибками (~2%), связанными с непостоянством ионного тока. Увеличение толщин слюдяных пленок (за счёт углерода от разложения на их поверхности паров органических кислот под воздействием пучка) не было обнаружено в пределах двухпроцентной ошибки.

Полученные значения отношений полуширии угловых распределений $(\Theta_u)_e / (\Theta_u)_t = 1.17 \pm 0.07$ находятся, видимо, в разумных пределах,

Таблица

t мг/см^2	частица	E_0 кэв	E_k кэв	$x_{\text{ок}}^2 \times 10^{-3}$ рад. ²	B	$(\Theta_u)_e$ градусы	$(\Theta_u)_t$ градусы	$(\Theta_u)_e / (\Theta_u)_t$
$0,175 \pm 0,006$	протон	I34	46	6,337	5,4I	8,2	7,70	$1,06 \pm 0,10$
		I42	54	5,04I	5,44	7,4	6,88	$1,08 \pm 0,09$
		I64	76	3,063	5,50	6,6	5,4I	$1,22 \pm 0,08$
		I98	II2	1,7I9	5,56	5,0	4,08	$1,23 \pm 0,08$
		2I4	I30	1,375	5,59	4,3 4,4	3,66	$1,17 \pm 0,08$ $1,20 \pm 0,08$
		244	I68	0,9I3	5,66	3,6 3,6 3,7	3,0I	$1,20 \pm 0,08$ $1,20 \pm 0,08$ $1,23 \pm 0,08$
		274	204	0,674	5,59	3,I	2,56	$1,21 \pm 0,08$
		28I	2I2	0,635	5,59	2,9 2,8	2,49	$1,16 \pm 0,06$ $1,12 \pm 0,06$
		294	228	0,559	5,58	2,9	2,33	$1,24 \pm 0,08$
		94	33	9,100	5,0I	10,2 10,4	8,77	$1,16 \pm 0,14$ $1,19 \pm 0,11$
$0,125 \pm 0,006$	протон	I24	6I	3,638	5,II	6,6	5,6I	$1,18 \pm 0,11$
		I54	9I	1,943	5,I4	4,7	4,I2	$1,14 \pm 0,10$
		I84	I22	1,222	5,I8	3,8	3,28	$1,16 \pm 0,10$
		2I4	I56	0,8I4	5,20	3,0	2,69	$1,12 \pm 0,09$
		266	2I6	0,472	5,I8	2,3	2,04	$1,13 \pm 0,10$
		294	248	0,368	5,I7	2,2	I,80	$1,22 \pm 0,10$
		I54	II4	I,075	3,I6	3,35	2,90	$1,16 \pm 0,09$
$0,086 \pm 0,006$	тритон	I80	I39	0,749	3,I8	2,55	2,42	$1,05 \pm 0,10$
		2I3	I7I	0,5I3	3,I9	2,25	2,0I	$1,12 \pm 0,10$

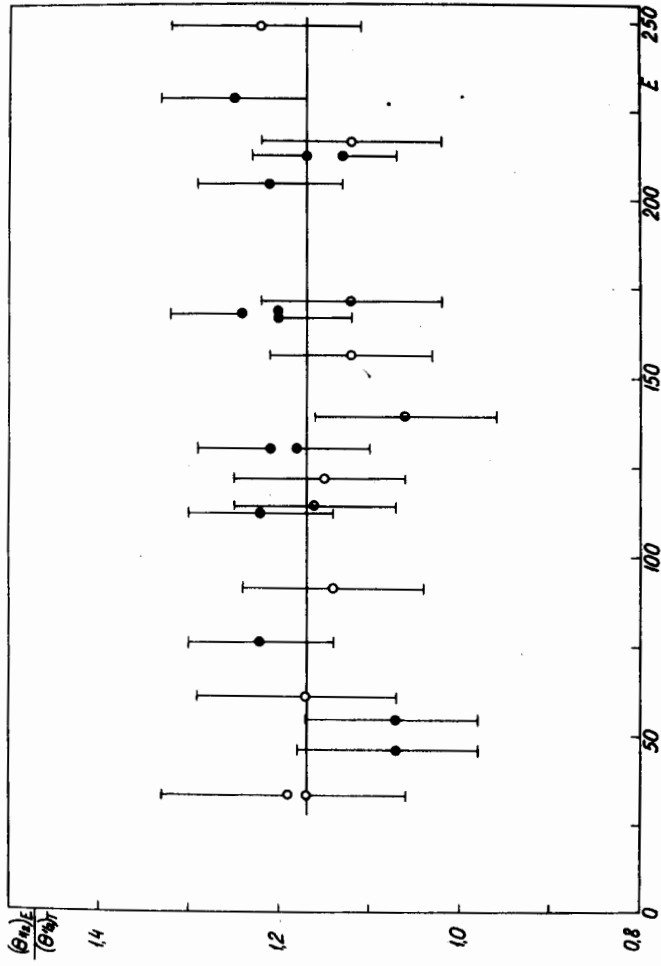


Рис. 3. Отношения экспериментальных полуширина угловых распределения к полуширинам, вычисленным по теории Мольера в зависимости от конечной энергии ионов (в кэВ). Светлыми и темными кружками предstawлены данные, полученные на протонах для толщин слоистых пленок 0,125 и 0,175 мг/см², соответственно. Полузаверненными кружками показаны значения отношения полуширины для случая рассеяния ионов трития на слоистом пленке толщиной 0,086 сг/см².

если учесть, что вычисления по модели Томаса-Ферми дали хорошее согласие с экспериментом для алюминия ^{7/} и расхождение на 20±30% для углерода ^{4/}. Следа же по среднему атомному весу занимает промежуточное положение между алюминием и углеродом. Можно полагать, что более точный учёт экранирования рассеивающего потенциала приблизит теоретическое описание углового распределения к экспериментальному.

Обращает на себя внимание постоянство отношения $(\theta_{\text{м}})_e / (\theta_{\text{м}})_T$, которое было получено при изменении энергии падающих частиц более, чем в 3 раза; при изменении толщины пленок примерно в 2 раза, потеря энергии - от 15 до 60% падающей энергии и, наконец, полуширин угловых распределений - в 4,7 раза.

В этой связи можно сделать практический вывод, что для приближенных расчётов многократного рассеяния ионов водорода в слюде можно применять теорию Мольера и модель Томаса-Ферми в области энергий 100-300 кэВ с внесением примерно семнадцатипроцентной поправки в значения полуширин угловых распределений. В сущности это означает внесение некоторой эмпирической коррекции в рассеивающий потенциал атома.

Для верхней части исследованного энергетического интервала получено согласие экспериментальных и расчётных угловых распределений (с учётом семнадцатипроцентной поправки), не выходящее за пределы экспериментальных ошибок. При переходе к малым энергиям падающих ионов получается, после введения найденной поправки, хорошее согласие экспериментальных и расчётных значений полуширии угловых распределений, но рассогласование формы угловых распределений заметно выходит за пределы ошибок относительных измерений. В качестве примера на рис.4 показано сравнение поведения кривых для падающей энергии протонов 94 кэВ и толщины слоистой пленки 0,125 мг/см². Предположение о возможном влиянии при малых энергиях процесса диффузии рассеиваемых частиц отпадает потому, что в пределах ошибок значения угла $(\theta_{\text{м}})_e$ качественно так же согласуются с предсказаниями теории Мольера, как и при больших энергиях, и не ощущается тенденции ослабления зависимости полуширина угла от толщины пленок и энергии падающих частиц. Кроме того, диффузия скорее сглаживала бы любые особенности в районе малых углов, чем проявляла бы их.

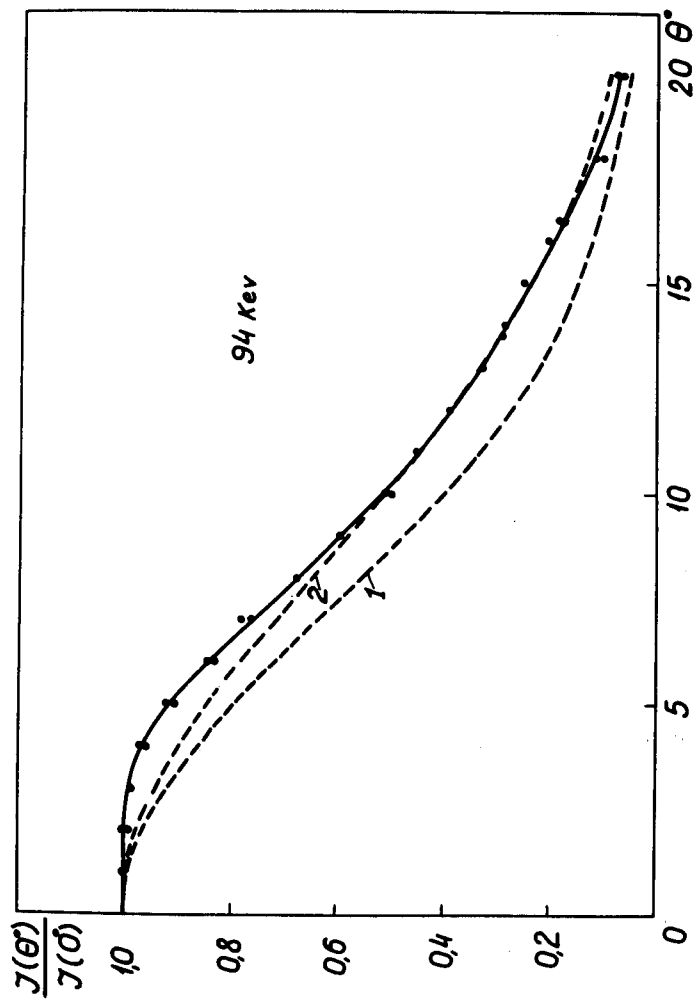


Рис. 4. Сравнение экспериментально полученного углового распределения рассеянных протонов с вычисленной по теории Мольера кривой (1) и кривой (2), учитывающей семнадцатипроцентную поправку. По оси абсцисс отложены углы в градусах, по оси ординат - относительный выход протонов. Указана энергия падающих протонов. Толщина рассеивающей слюдяной пленки - 0,125 мг/см².

Полученное в эксперименте увеличение выхода рассеянных частиц (по сравнению с поправленными расчётными данными) в интервале углов, находящихся вблизи от 0° , едва ли можно объяснить с помощью теории Мольера. Возможно, здесь некоторую роль играют эффекты канализирования и другие эффекты, связанные с прохождением заряженных частиц через монокристаллический образец, однако имеющиеся экспериментальные данные не позволяют сделать однозначных выводов.

В дальнейшем предполагается выполнить расчёты для слюды по теории Мольера с применением модели Хартри-Фока.

В заключение авторы выражают благодарность А.Ф.Тулинову, А.А.Беднякову и И.В.Сизову за полезные обсуждения результатов настоящей работы и Е.С.Смирнову - за помощь в проведении измерений.

Л и т е р а т у р а

1. W.T.Scott, Rev. Mod. Phys., 35, 231 (1963).
2. G.Moliere, Z.Naturforsch, 3a, 78 (1948).
3. H.A.Bethe, Phys. Rev., 89, 1256 (1953).
4. А.А.Бедняков, А.Н.Бояркина, И.А.Савенко, А.Ф.Тулинов ЖЭТФ, 42, 740, (1962).
5. В.И.Салацкий, И.В.Сизов. Препринт ОИЯИ Р-367, Дубна, 1959 .
6. А.Н.Говоров, Ли Га Ен, Г.М.Осетинский, В.И. Салацкий, И.В.Сизов, Препринт ОИЯИ Р-725, Дубна, 1961г.
7. А.А.Бедняков, В.Н.Дворецкий, И.А.Савенко, А.Ф.Тулинов. Вестн. Моск. ун-та, сер. физики, астрономии, №1, 55, 1965.

Рукопись поступила в издательский отдел

19 июля 1968 года.